

## 인공 DNase의 리간드 화합물로써 2,9-(*N,N*-Dimethylethylenediaminomethyl)-1,10-phenanthroline 분자내 수소결합들의 역할

성낙도\* · 박경용<sup>†</sup>

충남대학교 농업생명과학대학 응용생물화학부, <sup>†</sup>충남대학교 형질전환복제돼지연구센터

## The Roles of Hydrogen Bonds in 2,9-(*N,N*-Dimethylethyl-enediaminomethyl)-1,10-phenanthroline Molecule as a New Ligand Compound of Artificial DNase

Nack-Do Sung\* and Kyeng-Yong Park<sup>†</sup>

Division of Applied Biology and Chemistry, College of Agriculture and Life Science, Chungnam National University, Daejeon 305-764, Korea

<sup>†</sup>Research Center for Transgenic Cloned Pigs, Chungnam National University, Daejeon 305-784, Korea

Received October 18, 2005; Accepted November 24, 2005

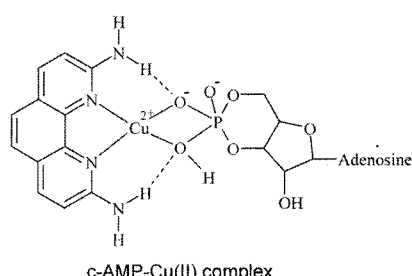
**In the catalytic hydrolysis of 2',3'-cAMP by the Cu(II) complexes of 2,9-(*N,N*-di-methylethylenediamino)-1,10-phenanthroline (A) and 2,9-(*N,N*-dimethylethylenediaminomethyl)-1,10-phenanthroline (B) that are designed as a new ligand molecule of artificial DNase, due to the four intramolecular H-bonds forming between amino groups of ligand molecule and phosphoryl group of 2',3'-cAMP. It is anticipated that Cu(II) complexes of (A) and (B) are able to promote a rate that is as much as seventy thousand times faster than the catalytic hydrolysis rate of 2',3'-cAMP by Cu(II) complexes of 2,9-dimethyl-*o*-phenanthroline.**

**Key words:** Artificial DNase, 2,9-(*N,N*-dimethylethylenediamino)-1,10-phenanthroline, H-bond, hydrolysis of phosphodiester

### 서 론

리간드 화합물로서 2,2'-bipyridine과 1,10'-phenanthroline 및 polypyridine 등의 전이금속 촉 화합물들은 촉매화학, 산화 환원반응, 광화학 및 생화학 등의 여러 분야에서 활발하게 연구되고 있다.<sup>1)</sup> 이중에서 1,10'-phenanthroline은 2,2'-dipyridyl과 비교 할 경우, 2개의 질소 원자가 금속들과 촉 화합물을 잘 형성한다.<sup>2)</sup> 이들 금속 촉 화합물에 관한 연구중의 하나는 artificial nuclease<sup>3,4)</sup>에 관한 분야로서 phosphodiester 화합물의 가수분해 반응성은 2핵 또는 3핵 금속 촉 화합물의 금속이온에 의한 Lewis acid activation 등, 5가지 활성화 요인으로 설명되고 있다.<sup>5)</sup> 그러나 이외에도 근래에는 리간드 화합물 2,9-diamino-*o*-phenanthroline의 Cu(II) 촉 화합물이 2',3'-cAMP나 bis(p-nitrophenyl) phosphate 등, phosphodiester 화합물들을 매우 빠르게 가수분해 하며 그 이유는 아래와 같은 전이 상태에서 분자내 수소결합을 형성하기 때문이라고 알려졌다.<sup>6)</sup>

이와 같이 금속 촉 화합물에 의한 phosphodiester의 가수분해 반응이 촉진되는 원인이 인산기의 산소 원자와 리간드 분자의 아미노기 사이에 형성되는 분자내 수소결합에 기초한다는 사실에 근거하여, 본 연구에서는 면역체계 이상으로 발생하는 각종 인체 암에 대한 새로운 항암성 화합물<sup>7)</sup>과 면역 조절성 물질 (immunomodulation agent)<sup>8)</sup>을 탐색하고자 artificial DNase<sup>9,10)</sup>의 새로운 리간드 화합물로서 2,9-(*N,N*-dimethylethylenediamino)-1,10-phenanthroline(A) 및 2,9-(*N,N*-dimethylethylenediaminomethyl)-1,10-phenanthroline(B)를 설계하여 합성하고 분자내 수소결합<sup>11,12)</sup>의 생성 가능성을 X-ray 결정 분석과 bond parameter의 계산을 통하여<sup>13)</sup> 확인함은 물론, 그 역할에 관하여 검토하였다.



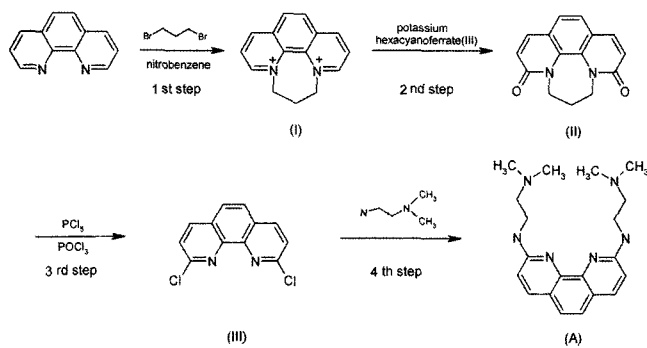
\*Corresponding author

Phone: +82-42-821-6737; Fax: +82-42-825-3306

E-mail: ndsung@cnu.ac.kr

## 재료 및 방법

**시약 및 기기.** 합성에 사용한 시약들은 Fluka, Sigma 및 Junsei제의 1급 시약을 사용하였다. *N,N*-dimethylformamide(DMF), benzene, ethyl acetate, methylene chloride(MC), chloroform, absolute ethanol 및 기타 용매들은 가능한 한 정제하여 사용하였다. 화합물의 분리는 230~400 mesh의 silica gel로 채워진 column chromatography와 재결정 방법을 이용하여 정제하였고 반응의 진행 여부를 확인하기 위한 TLC(Thin layer chromatography)는 precoated silicagel plate(Merck Co.)를 사용하였다. 생성물의 구조 확인에 이용된 <sup>1</sup>H-NMR은 CDCl<sub>3</sub> 또는 D<sub>2</sub>O를 용매로 한 실온에서 TMS를 내부 표준 물질로 하여 Varian EM-360 model(200 MHz)과 Bruker AM-300 model(300 MHz)의 spectrometer로 그리고 <sup>13</sup>C-NMR은 Varian UNITY model(75 MHz)의 spectrometer로 각각 측정하였으며 chemical shift는 δ(ppm) 값으로 표기하였다. 화합물의 녹는점은 Holliston 사의 Mel-TempII를 사용하여 측정하였다. 그리고 삼차원적 구조를 확인하기 위한 X-ray 회절 분석은 SHELXL97 model을 이용하였다.

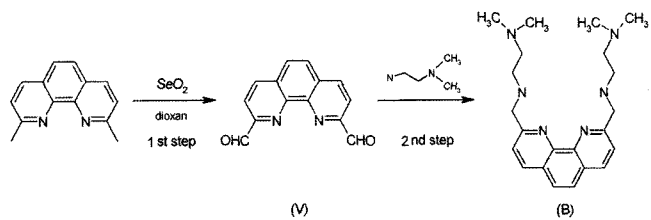


Scheme 1. Synthetic process of 2,9-(*N,N*-Dimethylethylenediamino)-1,10-phenanthroline (A).

**2,9-(*N,N*-Dimethylethylenediamino)-1,10-phenanthroline (A).** 출발 물질로 1,10-phenanthroline monohydrate 5 g과 1,3-dibromopropane 25 g(5 eq.)을 반응시켜 6,7-dihydro-5*H*-[1,4]diazepino[1,2,3,4-*lmn*][1,10]-phenanthroline-4,8-diiumdibromide (I)(obs.m.p.: 280~286°C) 9.41 g(97.6%)을 얻었다.<sup>14)</sup> Potassium hexacyanoferrate, 69.4 g(5 eq.)과 NaOH 31.74 g (20 eq.)을 ice bath상에서 10분 정도 교반한 용액에 물 50 mL에 녹인 (I), 9 g을 천천히 첨가한다. 5°C 이하로 교반하면서 전한 염산으로 중성화 시킨 다음에 column chromatography(MC : MeOH = 20 : 1)로 분리 정제한 후, methanol로 재 결정하여 갈색의 3,6,7,9-tetrahydro-5*H*-[1,4]-diazepino-[1,2,3,4-*lmn*][1,10]-phenanthroline-3,9-dione(II) 2.10 g(42%)을 얻었다. (II), 1.7 g과 phosphorus pentachloride 3.53 g(2 eq.)를 넣고 phosphoryl chloride를 첨가하여 녹인 후, 8시간 동안 환류시키고 침전물을 MC로 재 결정하여 흰색의 2,9-dichloro-1,10-phenanthroline(III) (obs.m.p.: 249~250°C, Rf=0.4(MeOH : MC = 1 : 20) 1.40 g(84%)을 얻었다. (III), 1 g과 *N,N*-dimethylethylenediamine을 과량(5 mL) 첨가한 용액을 2일 동안 환류한 다음에 감압 증발하고 chloroform-hexane

1 : 20(v/v)으로 재 결정하여 (A), 0.83 g (58.7%)을 얻었으며<sup>15)</sup> 리간드 화합물 (A)의 전체 합성과정을 Scheme 1에 요약하였다.

**2,9-(*N,N*-Dimethylethylenediaminomethyl)-1,10-phenanthroline (B).** 2,9-Dimethyl-1,10-phenanthroline 2 g과 selenium dioxide 5 g(4.7 eq.)을 4% dioxane 50 mL에 녹인 후, 2시간동안 환류시키고 즉시 여과한다. 0°C에서 냉각시켜 노란색의 2,9-diformyl-1,10-phenanthroline(V), 1.38 g(수율: 60.8%)을 얻었다.<sup>16)</sup> Obs.mp: 235~237°C, <sup>1</sup>H-NMR(CDCl<sub>3</sub>/TMS) δ(ppm): 8.78(d, 2H, J = 12.9 Hz, H<sub>arom</sub>), 8.28(s, 2H, H<sub>arom</sub>), 8.23(d, 2H, J = 12.9 Hz, H<sub>arom</sub>), 10.48(s, 2H, -CHO). (V), 0.5 g을 methanol 20로 mL 녹인 후, *N,N*-dimethyl ethylenediamine 0.37 g(2 eq.)을 천천히 첨가한다.<sup>17)</sup> 12시간 동안 실온에서 교반시킨 후, NaBH 0.32 g(4 eq.)을 첨가하여 reductive amination 반응인 Leuckart reaction<sup>18)</sup>으로 노란색의 기름상 액체 화합물인 (B) (<sup>1</sup>H-NMR (CDCl<sub>3</sub>/TMS) δ(ppm): 8.55(d, 2H, J = 7.4 Hz, H<sub>arom</sub>), 7.99(s, 2H, H<sub>arom</sub>), 7.84(d, 2H, J = 7.4 Hz, H<sub>arom</sub>), 4.69(s, 4H, -CH<sub>2</sub>-), 3.62(t, 4H, -CH<sub>2</sub>-), 3.22(t, 4H, -CH<sub>2</sub>-), 2.94(s, 12H, -CH<sub>3</sub>)), 0.48 g(59.6%)을 합성하였으며 리간드 화합물, (B)의 전체 합성 과정을 Scheme 2에 요약하였다.



Scheme 2. Synthetic process of 2,9-(*N,N*-Dimethylethylenediaminomethyl)-1,10-phenanthroline (B).

**X-ray 결정분석.** 리간드 분자, (A)를 DMSO 수용액(DMSO : H<sub>2</sub>O = 1 : 1) 6 mL에 넣어서 녹인 후 실온에서 2개월 동안 형성된 잿은 노란색의 단결정을 이용하여 Bruker SMART 1000 CCD diffractometer로 X-ray 회절분석을 실행하였다. 실험온도는 T = 293 K이고 결정의 크기는 0.460×0.347×0.308 mm<sup>3</sup>이었다. Monoclinic cell parameter<sup>19)</sup> a = 10.5873(12) Å, b = 11.0610(13) Å, c = 18.508(2) Å, α = γ = 90.00°, β = 99.947(2)°, V = 2134.8(4) Å<sup>3</sup>는 2.6845 ≤ θ ≤ 26.3805° 사이에 4964개의 회절반점을 측정하여 얻었으며 이때 사용한 파장은 graphite로 단색화 한 Mo K<sub>α</sub>이고 ω/2θ로 scan하였다. 총 5311개의 independent reflection은 2 < θ < 25° 범위에서 측정되었으며 absorption correction은 SADABS에 의해 측정되었다. 3033개의 회절반점은 I ≥ 2σ(I) 이고 공간군이 Z = 4, μ = 0.081 mm<sup>-1</sup>인 P 21/c 조건에서 관찰되었다. 리간드(A)의 구조는 direct method<sup>19)</sup>로 밝혔으며 구조의 least-squares refinement는 SHELXL 97<sup>20)</sup> 프로그램을 이용하여 수행하였다.

**분자의 최적화.** 리간드 (A), (B) 및 2,9-diamino-o-phenanthroline (C)<sup>6)</sup> 그리고 ligand-Cu(II)-dimethylphosphate 칙물의 최적화된 형태는 Sybyl 프로그램(Ver. 7.1)<sup>13)</sup>으로 simulated annealing<sup>21)</sup> 방법을 이용하여 가장 낮은 에너지를 갖는 분자들을 탐색하였다. 이때 전하는 Gasteiger-Huckel charge를 적용하고 Conjugate Gradient 방법을 활용하였다. 또한 torsion angle<sup>20)</sup> 변화함에 따라

형태가 갖는 에너지의 차이가 Gradient 0.01 kcal/mol일 때의 구조를 가장 안정한 형태로 선택한 다음에 최적화 된 분자내 수소결합의 길이를 구 하였다.

## 결과 및 고찰

**X-ray 결정분석.** 리간드 분자, (A)의 결정 구조를 이루고 있는 분자의 형태, 차수(dimension) 및 단위세포 내에서의 부피나 화학적 구성 성분 그리고 물질이 포함되어 있는 공간군 등을 조사하여 분자들의 3차원적 형태와 정보를 이해하기 위하여<sup>22)</sup> 결정화 시켜 형성된 단결정을 가지고 X-ray 분석한 결과를 Fig. 1에 나타내었다. 이 구조는 2개의 물 분자를 포함하면서 C(4)-N(2)-C(5)-N(3)와 C(17)-N(5)-C(16)-N(4)의 torion angle 값이 각각 6.2°와 179.5°로 평면 구조를 나타내었다. Artificial DNase에서 금속과 배위 결합하는 phosphate diester의 산소와 수소결합을 형성 할<sup>6)</sup> 것이라고 예상되는 N(2) 및 N(5) 원자들과 인산기 중, 이탈기인 산소와 수소결합을 할 것이라고 예상되는 N(1) 및 N(6) 원자들간의 torion angle 값은 79.4° [N(1)-C(3)-C(4)-N(2)]와 60.8° [N(5)-C(17)-C(18)-N(6)]로 18.6°의 차이를 나타내었다. 리간드 화합물의 결정자료는 Table 1에 그리고 bond parameter들은 별도로 정리하였다.<sup>23)</sup>

**리간드 분자의 설계.** 2,9-diamino-o-phenanthroline의 Cu(II) 착화합물이 2,9-dimethyl-o-phenanthroline의 Cu(II) 착화합물에 비하여 2',3'-cAMP(2',3'-cyclic adenosine monophosphate)를 35,000배 이상 빠르게 가수분해를 하는 이유는 전이상태의 cAMP-Cu(II) 착화합물 구조로부터 리간드 분자 중, 아미노기의 수소 원자가 인산기의 산소 원자와 분자내 2개의 수소결합을 형성하므로서 phosphodiester 결합(P-O)를 매우 신속하게 분해하였기 때문이다.<sup>6)</sup> 이 같은 효과를 극대화하기 위하여 2,9-diamino-o-phenanthroline(C) 유도체인 새로운 리간드 화합물, (A) 및 (B)를 설계하고 합성하였다.

이같은 근거에 의하여 다음 3가지 논리에 따라 리간드 분자(A), (B)의 Cu(II) 착화합물을 설계하고 Fig. 2에는 리간드 분자(A~C)의 Cu(II) 착화합물과 반응한 dimethylphosphate 분자의 전이상태<sup>24,25)</sup>에 관한 구조(I~III)를 제시하였다. (1) 리간드 분자에 금속이온과 결합하지 않는 4개의 아미노기를 도입하여 인

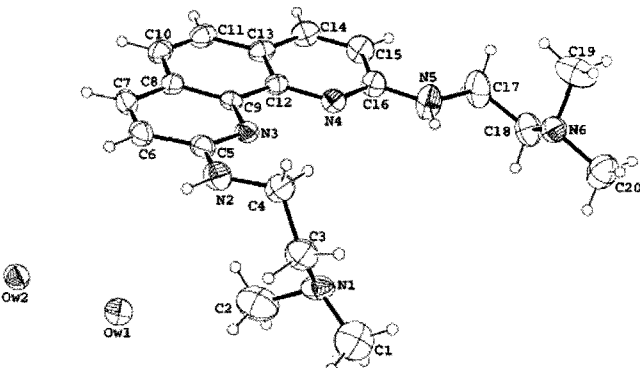


Fig. 1. X-ray crystal structure of 2,9-(N,N-Dimethylethylenediamino)-1,10-phenanthroline (A) as ligand (ORTEP representation: ellipsoids at the 50% probability level).

산기와 4개의 수소결합이 형성될 수 있도록 한다면 인산기 중 P-O 결합의 분해 반응속도를 최소한 7만배 이상으로 증가 될 것으로 판단된다. 그러므로 artificial nuclease<sup>4)</sup>가 DNA 또는 RNA 중, phosphodiester backbone(P-O)을 더 빠르게 가수 분해할 수 있도록 하기 위하여 (A), (B)를 리간드로 하는 Cu(II) 착화합물을 구상하였다. (2) 리간드 분자 (A), (B)에서 (C)의 경우와 다른 2개의 디메칠 암모니움 이온을 도입한 이유는 수소결합 형성시 H 원자의 전자밀도가 낮으면 양하전의 크기가 증대되어 (C)의 수소결합보다<sup>6)</sup> 강한 결합을 형성할 수 있도록 하기 위함이었다. 그리고 수소결합 형성이 용이하도록 디메칠 기들 사이의 입체효과로 인하여 수소결합에 참여하는 H 원자가 한쪽 방향으로 배향하도록 하였다. (3) 리간드 분자, (A)보다 메틸렌기가 한개 더 많은 (B)분자는 (B)-Cu(II) 착화합물(II)에서 4개의 수소결합이 용이하게 생성될 수 있도록 수소결합에 참여하는 원자들 사이의 적정한 거리(2~3Å)를 유지함은 물론, 같은 수소결합이라도 H 원자를 중심으로 직선형 결합이 비 직선형 결합보다 강한 수소결합을 형성한다는 이론에 따라서<sup>12)</sup> 직선형 수소결합을 형성하여 강한 결합을 유지할 수 있도록 배려하기 위함이었다.

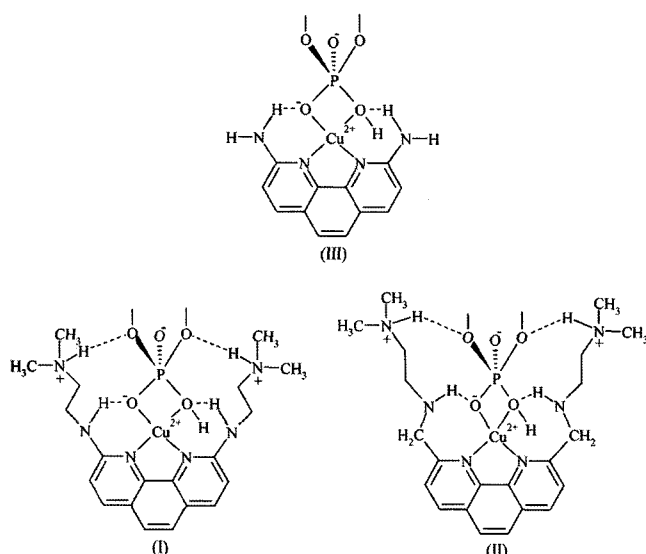
**리간드 별 Cu(II) 착화합물.** 2,9-diamino-o-phenanthroline(C)의 Cu(II) 착화합물에 기초하여<sup>6)</sup> 리간드 분자, (A)~(C)의 Cu(II) 착화합물과 결합한 DNA 모델 화합물로서 dimethylphosphate 분자의 전이상태(I~III)에 관한 구조(Fig. 2)의 특징을 이해하기 위하여 분자들의 최소화 에너지(ME)와 수소결합 법칙에 따른<sup>11)</sup> 결합의 길이에 관한 Sybyl 계산 자료와 X-ray 결정 분석자료를 Table 2에 요약하였다.

자료에 따르면, (I) 분자내 C(5)-N(1) 결합의 길이가 X-ray 결정분석 자료와 Sybyl 계산 결과의 차이가 0.045Å 이내로 일치하였다. 그리고 (I)~(III)에서 phenanthroline 고리에 가까운 첫

Table 1. Crystallographic data of 2,9-(N,N-Dimethylethylenediamino)-1,10-phenanthroline (A)<sup>a)</sup>

O <sub>2</sub> N <sub>6</sub> C <sub>20</sub> H <sub>32</sub>	Z = 4
Mr = 388.52	Dx = 1.541 Mg m <sup>-3</sup>
monoclinic Mo K	
α radiationa = 10.5873(12)Å	Cell parameters from 4964 reflections
b = 11.0610(13)Å	θ = 2.6845-26.3805°
c = 18.508(2)Å	μ = 0.081 mm <sup>-1</sup> Z = 4
α = 90.00°	T = 293K
β = 99.947(2)°	Block, light pale yellow
γ = 90.00°	0.460×0.347×0.308 mm
V = 2134.8(4)Å <sup>3</sup>	T <sub>max</sub> = 0.9754, T <sub>min</sub> = 0.7471
Bruker SMART 1000 CCD diffractometer ω/2θ scans	R <sub>int</sub> = 0.0388
Reflections collected : 27059	h = -14→14
5311 independent reflections	k = -14→14
θmax = 25°	l = -24→24
Absorption correction: SADABS	
Refinement on I	where P = (F <sub>o</sub> <sup>2</sup> + 2F <sub>c</sub> <sup>2</sup> )/3
R(I) [I > 2σ(I)] = 0.1048	(Δσ) <sub>max</sub> = 0.000
wR(I) = 0.3345	(Δρ) <sub>max</sub> = 1.256eÅ <sup>-3</sup>
S = 1.427	(Δρ) <sub>min</sub> = -0.581eÅ <sup>-3</sup>

<sup>a)</sup> Recrystallized in DMSO : H<sub>2</sub>O = 1 : 1 solvent.



**Fig. 2. Mechanistic roles and transition state of advanced copper complexes (I~III) with ligand A, B and C for hydrolyzing dimethylphosphate as DNA model compound.**

번째 아미노기(III)에서와 같이 수소결합 주계로 작용하여 Cu(II)에 결합된 물 분자의 탈 양성자화를 촉진하여 낮은 pKa 상수를 나타낼 것이다. 그리고 이 사실로부터 수소결합이 생성된다면 수소결합을 통한 유도효과에 의하여 인산기 중 P-O 결합의 분해를 촉진시킬 것이다. 따라서 첫번째 수소결합(N(2)H ··· O)이 생성되는 N과 Cl 원자간 거리가 3.10-3.26Å이었을 경우에 생성된<sup>⑨</sup> 수소결합의 길이는 모두 1.682~1.871Å 범위이내 이므로 적정한 수소결합의 길이가 2~3Å임을 감안하면 (A) 및 (B) 분자내 두 번째 수소결합도 무난하게 생성될 것이라 예측된다. 또한, (II)가 (I)보다 암모니움 이온과 인산기의 산소 원자간 공간거리(C(5)-N(1)<sup>+</sup>)가 메칠렌기의 길이정도 만큼(B-A = Δ1.698Å) 크며 두 분자에 있어서 수소결합의 길이(N(1)<sup>+</sup>H ··· O)를 비교한 바, (I)보다 (II) 분자내 수소결합의 길이가 짧기(2.904Å) 때문에 (II) 분자내 두 번째 수소결합의 형성 가능성이 더 크다. 또한, 전형적인 수소결합의 길이(N(H) ··· O)는 3.04Å이고 암모니움 이온의 H 원자와 O원자 간 수소결합 길이(N<sup>+</sup>-H ··· O)는 2.93Å이며 회합하는 두 원자(H ··· O) 사이의 거리는 약 1.89Å이다.<sup>11)</sup> 그러므로 두번째의 수소결합이 형성된다면(N(1)<sup>+</sup>H ··· O) 수소결합을 경유하는 유도효과에 의하여 dimethylphosphate 분자나 2',3'-cAMP 같은 물론, DNA의 phosphodiester backbone(P-O)을 분해하는 반응속도를 한결 빠르게 촉진시킬 것으로 확신한다.

이상과 같은 검토결과에 따라 리간드 화합물, (A) 및 (B)의 Cu(II) 치물과 인산 유도체와 결합된 분자내 수소결합들에 의하-

여 개선된 가수분해 반응성을 입증하기 위하여 다음 연구에서는 이를 착 화합물과 인산 유도체들과의 가수분해 반응속도 상수(k)로부터 설계된 리간드 화합물들의 리간드 효과를 확인하고자 한다.

## 초 록

인공 DNase의 새로운 리간드 분자로 설계된 2,9-(*N,N*-dimethylethylenediamino)-1,10-phenanthroline(A) 및 2,9-(*N,N*-Dimethylethylenediaminomethyl)-1,10-phenanthroline(B)의 Cu(II) 착 화합물에 의한 2',3'-cAMP의 촉매 가수분해 반응에서 리간드 분자의 아미노기들과 2',3'-cAMP의 인산기 사이에 형성되는 분자내 4개의 수소결합들로 인하여 (A) 및 (B)의 Cu(II) 착 화합물은 2,9-dimethyl-o-phenanthroline의 Cu(II) 착 화합물에 의한 2',3'-cAMP의 촉매 가수분해 반응 속도를 7만배 이상 빠르게 촉진 할 것으로 예측되었다.

**Key words:** 인공 DNase, 2,9-(*N,N*-dimethylethylenediamino)-1,10-phenanthroline, 2,9-(*N,N*-Dimethylethylenediaminomethyl)-1,10-phenanthroline, 수소결합, phosphodiester의 가수분해.

## 감사의 글

본 연구는 한국과학재단(KOSEF) 우수연구센터(ERC) 육성사업의 지원으로 수행되었음(No. R11-2002-100-03005).

## 참고문헌

- Liu, T. F., Gao, D. Z., Lin, H. K., Zhu, S. R. and Wang, H. G. (2004) Synthesis and crystal structures of copper and manganese complexes with *N,N*-dibenzyl-1,10-phenanthroline-2,9-dimethylamine. *Transition Met. Chem.* **29**, 296-300.
- Liu, T. F., Lin, H. K., Zhu, S. R., Wang, Z. M., Wang, H. G., Leng, X. B. and Chen, Y. T. (2002) Synthesis and structure of Mn(II) and Zn(II) complexes containing 1,10-phenanthroline unit. *J. Mol. Struct.* **605**, 117-122.
- Williams, N. H. (2004) Models for biological phosphoryl transfer. *Biochimica et Biophysica Acta*. 279-287.
- Cowan, J. A. (2001) Chemical nucleases. *Current Opinion in Chem. Biology*. **5**, 634-642.
- Williams, N. H., Bryan, T., Mark, W. and Chin, J. (1999) Structure and nuclease activity of simple dinuclear metal complexes: Quantitative dissection of the role of metals ions. *Acc. Chem. Res.* **32**, 485-493.

**Table 2. Minimized energy of ligand molecules (L) and bond lengths in ligand-Cu(II)-dimethylphosphate complexes**

L	ME <sup>a)</sup>	X-ray (Å)	Complex	Sybyl Calculation (Å)
A	52.965	C(5)-N(1) = 5.782	(I)	C(5)-N(1) = 5.827    N(2)H ··· O=1.682 <sup>b)</sup> N(1)H ··· O = 4.342 <sup>c)</sup>
B	60.738	-	(II)	C(5)-N(1) = 7.525    N(2)H ··· O=1.871 <sup>b)</sup> N(1)H ··· O = 2.904 <sup>c)</sup>
C <sup>d)</sup>	26.096	N ··· Cl = 3.10-3.26	(III)	NH ··· O=1.696 <sup>b)</sup>

<sup>a)</sup>Minimized energy: Kcal/mol, <sup>b)</sup>length of first H-bond between H atom of NH group and O atom in phosphoryl group, <sup>c)</sup>spatial distance of second H-bond between H atom of ammonium ion and O atom in phosphoryl group.

6. Wall, M., Linkletter, B., Williams, D., Lebuis, A. M., Hynes, R. C. and Chin, J. (1999) Rapid hydrolysis 2',3'-cAMP with a Cu(II) complex: Effect of intramolecular hydrogen bonding on the basicity and reactivity of a metal-bound hydroxide. *J. Am. Chem. Soc.* **121**, 4710-4711.
7. Sung, N. D. (2005) Pharmaceutical composition for treating of cancer comprising pyridylpyridazine compounds or their transition metal complexes. Korea patent No. 10-2005-0063710.
8. Thomson, A. W. (2001) In *Therapeutic Immunosuppression*. Kluwer Academic Publishers. London.
9. Sung, N. D. and Yun, K. S. (2005) The roles of metal ions and water molecules in hydrolysis of bis(p-nitrophenyl)phosphate as a DNA model catalyzed by dinuclear Ni(II) complex. *J. Korean Soc. Appl. Biol. Chem.* **48**, 115-119.
10. Liu, C., Wang, M., Zhang, T. and Sun, H. (2004) DNA hydrolysis promoted by di- and multi-nuclear metal complexes. *Coordination Chem. Rev.* **248**, 147-168.
11. Etter, M. C. (1990) Encoding and decoding hydrogen-bond patterns of organic compounds. *Acc. Chem. Res.* **23**, 120-126.
12. Taylor, B. and Kennard, O. (1984) Hydrogen-bond geometry in organic crystals. *Acc. Chem. Res.* **17**, 320-324.
13. Tripos Sybyl (2001) In Molecular Modeling and QSAR Software on CD-Rom (Ver. 7.1). Tripos Associates. Inc., St. Louis, USA.
14. Masaki, Y., Yoshio, N., Shigeyasu, K. and Ichiro, S. (1990) Synthesis of 2,9-dichloro-1,10-phenanthroline from *N,N*-annelated phenanthrolinediones. *Bull. Chem. Soc. Jpn.* **63**, 2710-2712.
15. Otto, M. and Zegui, Y. (1998) Linear and macrocyclic ligands containing alternating pyridine and imidazolidin-2-one units. *J. Chem. Soc., Perkin Trans. 1*, 423-436.
16. Chandler, C. J., Deady, L. W. and Reiss, J. A. (1981) Synthesis of some 2,9-disubstituted-1,10-phenanthrolines. *J. Heterocycl. Chem.* **18**, 599-601.
17. Sun, H., Lin, H., Zhu S., Zhao, G., Su, X. and Chen, Y. (1999) Synthesis of *N,N*-bis(isopropylaminoethyl)-1,10-phenanthroline-2,9-dimethanamine and *N,N*-bis(diethylaminoethyl)-1,10-phenanthroline-2,9-dimethanamine and potentiometric determination of the formation constants of their complexes with manganese (II), cobalt(II), copper(II) and zinc(II). *Transition Met. Chem.* **24**, 362-365.
18. Li, J. J. (2003) In *Name Reactions: A Collection of Detailed Reaction Mechanisms*. (2nd ed.) Springer. Paris. pp. 237.
19. Sheldrick, G. M. (1990) Phase annealing in SHELX-90: Direct methods for larger structures. *Acta Cryst.*, **A46**, 467-473.
20. Sheldrick, G. M. (1997) In SHELXL97. Release 97-1. Program for the Refinement of Crystal Structures, University of Gottingen, Germany.
21. Kerr, R. (1994) Parallel helix bundles and ion channels: Molecular modeling via simulated annealing and restrained molecular dynamics. *Biophys. J.* **67**, 1501-1515.
22. Wahlstrom, E. E. (1979) In *Optical crystallography*, 5th ed., pp. 1~2. John Wiley and Sons. New York.
23. Park, K. Y. (2005) Synthesis and X-ray analysis of 2,9-(*N,N*-dimethylethylene-diaminomethyl)-1,10-phenanthroline. M.S. Thesis. Chungnam National University, Korea.
24. Sung, N. D., Seo, J. S., Rosemary, C. H. and Chin, J. (1996) Structure and reactivity of a dinuclear cobalt(III) complex with a bridging phosphate monoester. *Inorg. Chem.* **35**, 7472-7473.
25. Sung, N. D., Seo, J. S., Rosemary, C. H., Williams, D. and Chin, J. (1998) Structure and reactivity of a dinuclear cobalt (III) complex with peroxide and phosphate diester analogues bridging the metal ions. *J. Am. Chem. Soc.* **120**, 9943-9944.